

## I. Предисловие.

Средне-Ануйская геолого-поисковая партия работала под моим руководством в течение лета 1931 года в Средне-Ануйском районе Северного Алтая (С. З. часть листа 14 ряда X десятиверстной карты), на средства и по заданию Зап.-Сиб. ГРТ. В задачу партии входило покрыть геологической съемкой и поисками площадь в 1100 кв. км и установить промышленную ценность района.

Топографической основой для работ партии служила 5-верстная карта, фотографически увеличенная в два с половиной раза. Карта не имеет горизонталей и в некоторых местах страдает неточностью.

Камеральная обработка протекала при кабинете общей геологии Сиб. ГРИ под постоянным руководством проф. М. А. Усова, которому я приношу искреннюю благодарность. И. К. Баженову, как техноруку Чарышской группы, помогавшему нам своими советами и указаниями как в поле, так и в процессе камеральных работ, я также очень благодарен.

## II. Оро- и гидрографический очерк.

1. В оро- и гидрографическом отношении район представляется интересным в том отношении, что у северной его границы проходит фас Алтая, от которого на север широко раскинулась слегка всхолмленная степная равнина, а на юг начинаются Алтайские горы. Фас Алтая на исследованной площади выражен не очень резко, причем относительная разность высот между прилежащей волнистой равниной и сопками передней части гор достигает лишь 250 м при абсолютной высоте, например, Карабульской сопки в 470 м. Прилагаемый профиль от вершины сопки Бутачихи, до степной речки Кудрихи (рис. 1) иллюстрирует это положение. Местами даже резкой грани между Алтаем и равниной нет, а именно там, где от Алтая отходят в степь валообразные грибы, сложенные в значительной мере коренными породами и прикрыты шлейфом пролювиально-делювиальных отложений.

Затем направление фаса отнюдь не является прямолинейным; наоборот—он то образует глубокие заливы, то дает уходящие далеко в степь высокие валообразные выступы, причем вдающиеся в горную часть Алтая участки фаса приурочены как раз к тем местам, где из гор выбиваются на степную равнину реки. Наконец, если проанализировать геологическое строение прилегающих частей фаса и равнины, то окажется, что как те, так и другие сложены одной формацией зелено-фиолетовых сланцев, которые неоднократно выступают на равнине, и только вдоль долин речек мы наблюдаем толщи постплиоценовых рыхлых отложений.

Проследим детали этой северной границы Алтая. У села Михайловского, где из гор в степную равнину выходит рч. Егоршиха, мы встречаем резкий уступ горной части, представленный в данном месте сопкой Бутачихой с abs отм. 200 м. Этот уступ тянется на В до места, где рч. Слюдянка, уже вышедшая на равнину, снова уходит в горы.

Северный склон горной части здесь прикрыт шлейфом пролювиально-делювиальных наносов, которые теперь и размываются рч. Егоршихой.

От места, где рч. Слюдянка уходит в горы, линия горного фаса резко меняет свое направление с восточного на северное, затем плавно огибает сопку Карапульную, с абсолютной отметкой 470 м, и далее опять проходит в восточном направлении до с. Соловьихи, нося несколько извилистый характер, причем эти извилины приурочиваются к местам выходов речек из гор в степную равнину; так—в местах выхода кл. Ганина и р. Соловьихи фас, естественно, образует вдающиеся по долинам этих речек выемки. Вместе с тем, кое-где, вследствие избирательной эрозии, в таких выемках имеются остаточные холмы и мысы, например—в стрелке между устьем рч. Слюдянки и р. Ануем.

От дер. Соловьихи линия фаса идет в общем СВ. направлении, уходя за пределы нашего планшета, где она плавно заворачивает на В. Но и здесь в деталях мы имеем извилистый характер линии фаса. Так, у д. Камышенки, где из гор вытекают рч. Медведевка, Ревневка и Камышенка, мы встречаем как бы выемку с довольно крутым уступом горного фаса, которая восточнее д. Камышенки заканчивается, и дальше горный фас, как бы наступая на степную равнину, вдается в степь и тянется до д. Солоновки.

При общем взгляде с горного фаса на север, пред нами открывается картина ровной слегка всхолмленной убегающей на север степи. При ближайшем рассмотрении она оказывается довольно расчлененной, причем над общей ее поверхностью то там, то здесь возвышаются отдельные сопки. Так, в 10—12 км на север от с. Михайловского над степной равниной возвышается окруженная сопка, сложенная изверженной породой, а на СВ от того же села, далеко в степной равнине, виднеются другие останцы гор.

Другими характерными элементами расчлененности степной равнинны являются валообразные водораздельные грави. Они берут свое начало непосредственно от горного фаса, протягиваясь далеко на север в степь и ориентируясь с общим направлением водных артерий.

Такие валообразные водораздельные грави мы наблюдаем по левую сторону р. Ануя от сопки Карапульной; здесь эта грава прикрыта рыхлыми элювиально-делювиальными отложениями, ибо кое-где по дороге из с. Антоньевского на с. Михайловское на ней изредка встречается мелкая щебенка лиловых сланцев и зелено-серых песчаников. Затем, такой же вал мы встречаем на водораздельном участке между рч. Соловьихой и Камышенкой с ее притоками—рч. Медведевкой и Ревневкой. Наконец, наиболее ярко выра-

женную гриву мы наблюдаем на междуречье рч. Камышенки и Солоновки.

Для характеристики геологического сложения степной равнины мы приведем прежде всего фактические данные наблюдений при маршруте из с. Михайловского, расположенного у фаса, на рч. Кудриху, находящуюся на 12 км к С от с. Михайловского. Здесь степная равнина слагается зеленосерыми метаморфическими и сильно каолинизированными сланцами, возраст которых нами определяется как нижне-силурийский, так как они ничем не отличаются как по своему составу, так и по элементам залегания от соответствующей метаморфической толщи, которая нами фиксируется в горной части. В эти метаморфические сланцы глубоко врезалась рч. Кудриха, и видно как они в этом месте прикрываются лишь почвенным слоем мощностью в 20—30 см. Затем, у д. Камышенки, в первом отделе коммуны имени Энгельса, по словам крестьянина этой коммуны И. С. Нечушкина, участвовавшего при бурении скважины на воду в 1930 г., равнина в этом месте слагается следующими рыхлыми отложениями сверху вниз: 1) торф с мелкими ракушками, мощность до 30 м; 2) синяя глина, мощность до 30 м; 3) мелкая дресва (мощность неизвестна); 4) желтая глина; 5) синевато-белая, очень жирная глина, мощность 9 м; 6) мелкий галечник; 7) красная глина, мощность до 50—60 м; 8) очень мелкая дресва.

Подводя итоги вышеизложенному, мы можем сказать, что современный фас Алтая носит эрозионный характер; если В. А. Обручев в Алтайских этюдах (II том, стр. 28—30) пишет, что „над степной равниной на южном горизонте поднимаются стеной, на высоту нескольких сот метров Алтайские горы“, то это лишь общее впечатление. В действительности, резкие и крупные уступы подножий наблюдаются лишь в местах выходов речек из гор, где реки, размывая коренные породы, образуют как бы желоба, которые и вносят резкий контраст между степной равниной и горной частью. Такие желоба размывания мы встречаем у с. Михайловского, у д. Соловьихи и у д. Камышенки. Но описанные выше водораздельные гривы не дают резкого контраста в переходе горной части в степную равнину, а наоборот—смягчают северные склоны гор.

2. В рельефе горной части Алтая мы находим следы древнего пенеплена. А именно, если не считаться с редкими острыми сопками, которые представлены метаморфическими сланцами, в той или иной мере окремненными и потому хорошо сопротивляющимися размыву, то водораздельные пространства и вершины холмов являются сглаженными и общая объемлющая поверхность их кажется б. или м. ровной. В тело этого всхолмленного пенеплена врезаются в виде каньонов или вообще глубоких долин многочисленные речки и ключи, которые и создали современный расчлененный рельеф. Мало того, в южной части планшета намечается другой более высоко поднятый пенеплен, от которого сохранились небольшие водораздельные площадки, очень удобные для пашен.

Итак, современный рельеф горной части на нашем планшете во всех его деталях обусловлен достаточно длительной и весьма слож-

ной историей гидрографической сети, т. е. рельеф обусловлен чисто эрозионными процессами. Различный литологический состав горных участков вносит большое разнообразие в существующие формы рельефа, что стоит в связи с процессами, а отсюда и с формами избирательного выветривания и денудации.

Не исключена возможность участия в создании форм рельефа и ледниковых явлений, так как нахождение в вершине рч. Таловки крупного валуна гранита, который является чуждым породам бассейна этой речки, и отсутствие по близости гранитных тел позволяют думать о том, что валун этот является эрратическим. Однако, других следов бывшего оледенения обнаружить на планшете не удалось, если не считать небольших и редко встречающихся каровых воронок, которые являются имбрионами каров и при благоприятных условиях могли бы развиться в кар. Такие воронки мы встречаем по рч. Таловке, в ее вершине, на СВ склоне, в диаметре до 100 м и глубиною до 20 м; в них 14 июня лежали большие пятна снега. Такие же карообразные воронки мы встречаем и на водоразделе речек Соловьихи и Камышенки в вершине кл. Бердич.

3. Весь исследованный планшет захватывается системой реки Ануя с его многочисленными притоками; левыми и главными из них являются речки: Татарка, Таловка, Вятчиха и наиболее интересная рч. Слюдянка, а правыми—речки Соловьиха, Березовка и Камышенка. Таким образом, основной водной артерией в районе является р. Ануй, протекающая в меридиональном направлении, согласуясь с господствующим простиранием осадочной толщи, широко распространенной на нашем планшете.

На всем протяжении планшета р. Ануй имеет довольно извилистый характер, причем извилины нередко принимают довольно правильную форму квадратных скоб, что обусловливается избирательной эрозией реки: она течет то по простиранию осадочных пород, согласуясь с рассланцовкой, то вкrest их простирания. Долина р. Ануя довольно глубокая и хорошо разработана боковым размывом, достигая ширины 1,5 км; причем склоны ее круты и каменисты; нередко они в виде скал опускаются к реке, а именно там, где проявляется размывающая деятельность реки в боковом направлении.

На всем протяжении нашего планшета р. Ануй сопровождается первой террасой, ширина ее 1,5 км, а высота—2—3 м; впрочем, местами она сменяется псевдотеррасой размыва делювиальных отложений. Эта терраса под почвенным слоем в 20—30 см слагается в основном серым, песчанистым материалом, который неправильно переслаивается со слоями хорошо окатанной гальки различных размеров. Терраса в отдельных своих участках, вследствие проявления у р. Ануя за последнее время донного размыва, приняла островной характер, густо поросла тальником, представляя удобное место для пасек; на ней же раскинулись прекрасные луга, а после уборки сена она превращается в пастбище.

Кроме этой луговой террасы, нами фиксируются и более высокие террасы размыва. Так, по левую сторону Ануя против д. Березовки, южнее устья рч. Вятчихи, видна терраса размыва, с высотою

над уровнем Ануя в 14 м. Немного выше д. Березовки, где выступает Калмыцкий мыс, сложенный мергелисто-песчанистой толщей, этот мыс представляет собою две террасы размыва; высота первой террасы над уровнем Ануя 70 м, а превышение второй над первой 10—15 м. И далее ниже с. Сибирячихи, так называемый, Сибирячинский мыс представляет такие две террасы размыва; их высоты нам не удалось замерить, но надо думать, что они будут, примерно, такие же, что и у Калмыцкого мыса. Интересно то, что здесь же по правую сторону реки на высоте 70 м над уровнем Ануя на размытой поверхности известняка нами встречена хорошо окатанная речниковая галька.

Что касается притоков р. Ануя, то все они, за редким исключением, протекают, примерно, в широтном направлении, разрезая вкрест простирания осадочную толщу. Общими характерными для них чертами в их низовьях являются узкие, почти каньонообразные, с крутыми в 20—30°, часто каменистыми склонами долины, тогда как верховья этих притоков обычно широки, с невысокими и пологими склонами, часто заболоченные. Следовательно, новый цикл эрозии захватил лишь нижние части притоков р. Ануя.

Южные склоны долин притоков, как правило, чрезвычайно круты и у их подножий нагромождаются конуса выносов делювиально-пролювиального материала, поступающего из сухих логов, которые ожидают во время сильных ливней, причем конуса выносов, подмытые речкой, создают ложное впечатление террас. Северные склоны, более пологие, часто сопровождаются террасами накопления, слагающимися из серовато-желтого суглинка.

В дальнейшем нет нужды останавливаться на описании всех притоков р. Ануя, так как они по своему существу и характеру ничем не отличаются друг от друга; из них наиболее типичными и интересными являются речки Слюдянка и Березовка.

Рч. Слюдянку нужно поставить особняком, так как она интересна тем, что, выходя из гор около с. Михайловского, течет в степи вдоль фаса прямо на восток, затем, в конце села резко поворачивает на юг, врезается в горы и, обойдя сопку Карапульную, с абсолютной отметкой 460 м, выходит снова в степь, где и впадает в р. Аний у самого фаса, немного выше с. Антоньевского.

Столь замечательное поведение рч. Слюдянки можно объяснить тем, что в прошлом река, повидимому, протекала в том же направлении, какое она имеет и в настоящее время, но в более молодых породах, которые с течением геологического времени были уничтожены денудацией; при этом нужно допустить, что страна претерпела постепенное поднятие, благодаря чему река и имела возможность пропилить не только молодую формацию, но затем и врезаться в более древнюю толщу, отстаивая тем самым свое первоначальное направление и, как мы видим, ей удалось добиться этого. Если такого рода объяснение признать правильным, то отсюда следует вывод, что речка Слюдянка старше, а долина ее моложе тех тектонических подвижек, кои обусловили пропиливание рекой более древней толщи. Таким образом, долина р. Слюдянки на описанном

участке имеет эпигенетический характер. Впрочем, возможно, что она относится к антецедентным образованиям, ибо ясных остатков рыхлых толщ мы здесь не находим.

Рч. Березовка протекает с В на З, вкрест простирания толщи. В своей верхней части долина речки имеет сравнительно нологие склоны, покрытые травянистым покровом. Долина речки как в верхнем, так и в среднем течении значительно заболочена, особенно в верховьях, и на всем протяжении сопровождается пойменной террасой высотою в среднем 1,5 м. Эта терраса слагается существенно темносерым иловатым материалом, с примесью мелкой щебенки из пород бассейна речки (зелено-лиловые сланцы). От места слияния ключей Петрушкина и Лиственного до сопки Поручинской, по левому склону долины, отчетливо видна вторая продольная терраса, с превышением над первой в 8—10 м. Она слагается, главным образом, серовато-желтым лессовидным суглинком без признаков слоистости. В настоящее время эта терраса размывается речкой и после весенних вод в борту террасы местное население время от времени находит кости позвоночных постплиоценового возраста. Начиная от устья ключа Денисова, правого притока рч. Березовки, и до самого устья этой речки на расширяющейся в этом месте террасе, переходящей в конус выноса, расположена д. Березовка. Около маслозавода этот конус размыт глубоким и узким оврагом, в котором мы и видим следующий разрез сверху вниз:

1) желтоватосерый, без заметной слоистости, лессовидный суглинок с фауной пресноводных моллюсков. Отдельно прослойки лессовидного суглинка волнообразно изогнуты, местами встречаются истлевшие растительные остатки. Мощность слоя до 15 м;

2) слой крупной угловатой щебенки из пород бассейна рч. Березовки с примесью лессовидного материала, перемешанного с мелкой галей. Мощность . . . . . 0,5 м;

3) слой крупной угловатой щебенки из тех же пород . . . 0,3 м;

4) лессовидный суглинок, переслаивающийся с мелкой и крупной щебенкой до 20%, мощностью . . . . . 1,5 м;

5) примерно, до 48% песчано-глинистый материал, до 50% мелкая щебенка и до 2% крупная щебенка, состоящая преимущественно из известняка и изверженной породы, слагающей сопку Перучинскую. Среди этих слоев встречаются линзочки мощностью до 10 см лессовидного суглинка.

На основании всего вышеизложенного мы можем сказать, что в исследованном нами районе хорошо намечаются два позднейших цикла эрозии; при этом последний цикл находится еще в первой фазе, и все речки работают над углублением своих русел. Интересно указать, что в конце предыдущего цикла эрозии район находился в условиях сухого климата, отмечаемого широким развитием лессовидных суглинков.

### III. Зелено-фиолетовая формация ( $S_1$ ).

Наиболее древней и широко развитой в нашем районе формацией является осадочная метаморфизованная толща б. или м. одно-

родная по своему литологическому составу. Она состоит, главным образом, из зеленых, зеленосерых, лиловых, краснобурых сланцев и песчаников, иногда несколько известковистых. Гораздо реже в ней мы встречаем то слои, то линзы мраморизованного известняка, довольно однородного по составу, обычно светлой окраски, то грубо, то более тонко рассланцованных и фауны не содержащего. Довольно характерны изредка встречающиеся в формации прослои и линзы силицилитов. Наличие редких силлообразных тел метаморфизованных основных изверженных пород в этой толще свидетельствует о том, что в свое время при ее отложении была небольшая вулканическая деятельность.

Зелено-фиолетовая формация в западной части планшета может быть охарактеризована таким нормальным разрезом по рч. Татарке, начиная от ее вершины снизу вверх по формации: 1) зеленые известковистые песчаники с прослойми песчанистых сланцев; 2) серозеленые глинисто-кремнистые сланцы с прослойми песчаников; 3) зеленые хлоритово-серicitовые плойчатые сланцы; 4) горизонт светло-серого мраморизованного известняка (15 м); 5) лилово-зелено-серые хлоритизированные сланцы с прослойми зеленых известковистых песчаников; 6) зелено-серые песчаники с прослойми зеленых и лиловых сланцев, переходящие в бурокрасные аркозовые песчаники.

Из этого разреза видно, что известковый элемент в формации является подчиненным и проявляется в ней то в виде примеси карбоната кальция в зеленых песчаниках, то еще реже в виде отдельных слоев или линз мраморизованного известняка. Например, такой слой известняка нами прослежен от речки Татарки ниже ключа Глиняного на север: он тянется в меридиональном направлении, проходит сопку Карапульную и далее уходит в степную равнину, скрываясь под рыхлыми пролювиально-делювиальными отложениями, при мощности в 10—15 м. В другом месте, а именно в ЮЗ. части планшета, в стрелке речек Каменушки и Большого Сибиряченка, нами также фиксируется линза мраморизованного известняка: в СЗ. направлении она доходит до вершины ключа Поперечный Сибиряченок, где, повидимому, и выклинивается, так как далее мы ее не встречаем, а на ЮЗ эта линза доходит почти до вершины кл. Авдюшкина, левого притока рч. Сибирячихи, где она также идет на выклинивание. При взгляде на карту, мы видим, что эта линза изгибается по простиранию, резко уклоняясь в сторону СЗ от господствующего меридионального простирания всей метаморфической толщи.

Известники метаморфической толщи отличаются большею или меньшою однородностью состава и охотно эксплуатируются здесь местным населением для обжига извести.

Далее, метаморфическая формация характеризуется наличием в ней довольно часто встречающихся силицилитов (кварциты). Обычно они встречаются в виде пластиобразных линз или жил самой различной мощности, от нескольких сантиметров до 10 м, и содержат в небольших количествах магнетит и железный блеск. Это—частью

первично осадочные породы сургучно-красного цвета, частью метасоматические образования. Они будут описаны подробно далее.

Характерной чертой метаморфической зелено-фиолетовой формации служит наличие в ней большого количества кварцевых линз и жил. В этой формации они встречаются буквально на каждом шагу, будучи совершенно пустыми в отношении оруденения, за редким исключением 3—4 кварцевых жил, находящихся недалеко от изверженных тел. Все эти жилы — линзы идут по рассланцовке, причем нередко пережимаются и в горизонтальном и в вертикальном направлениях. Не лишним будет отметить, что включающие их сланцы или песчаники как бы обтекают такие линзы (рис. 2). Эти кварцевые жилы весьма непостоянны как по своему простиранию, так и по мощности; последняя измеряется от см до 3—5 м. Параллельно с этим нужно отметить, что вся толща подверглась б. или м. слабому метасоматизму, а именно — тонкой пиритизации, кальцинизации, силицификации и отчасти эпидотизации и хлоритизации. Все эти метаморфические процессы обязаны интрузиям, часть которых обнажена, а некоторые остаются еще не вскрытыми денудацией.

Верхние горизонты зелено-фиолетовой формации в западной части планшета сменяются более грубозернистыми, нередко пуддинговыми песчаниками, и мы вступаем в другую формацию, которая довольно резко отличается от только что описанной как по своему литологическому составу, так и по наличию органических остатков, широко в ней распространенных. По предварительному определению окаменелостей, эту формацию мы относим к низам девона, о чем более подробно будет сказано в соответствующей главе. Но здесь же нужно отметить, что взаимоотношение этих двух формаций в данном месте вполне определено нами не установлено, так как не удалось найти явных признаков углового несогласия, и только руководствуясь косвенными соображениями, можно допустить возможность несогласия, которое могло остаться нами не замеченным вследствие крайне интенсивной дислокации обеих формаций по Татарскому разрезу.

Нижне-девонская формация, имеющая в общем меридиональное простиранье, на восточной стороне срезается ясной тектонической линией, по которой произошел взброс зелено-фиолетовой формации на формацию девона. Тектоническая линия проходит, примерно, в меридиональном направлении, имея несколько изогнутый характер, а на севере у д. Соловьихи эта линия довольно резко повернула на северо-восток, уходя за рамку нашего планшета.

К востоку от тектонической линии мы вступаем опять в зелено-фиолетовую формацию, которая и проходит широкой полосой в меридиональном направлении. Этот участок формации ничем не отличается от охарактеризованной нами западной части метаморфической толщи, сохраняя однородность литологического состава, а также выдерживая характерные для нее элементы залегания. По существу здесь мы имеем повторение западной части метаморфической толщи, благодаря указанной дислокации взбросового типа.

Но в вершине рч. Соловьишенок, притока Соловьихи, по ключу

Светлому мы встречаем известняк, который, начиная от вершины ключа Прямой Чапыжный, протягивается на юг до водораздельного пространства и, постепенно расширяясь, скрывается под рыхлыми почвенными образованиями. Взаимоотношение этого известняка с зелено-фиолетовой формацией точно установить нам не удалось по причине сильной задернованности этого участка. Но судя по характеру известняка, он является отличным от известняка, встреченного нами в западной части зелено-фиолетовой формации, отличаясь значительно большим распространением, меньшей мраморизацией и неправильной, к тому же слабой рассланцовкой. Кроме того, южнее, в верхней развилке рч. Юртной, против выселка, нами встречены в этом известняке окаменелости, которые дают возможность отнести его к  $D_1$ .

Прослеживая зелено-фиолетовую толщу далее на восток, мы попадаем постепенно в ее верхние горизонты, которые сначала состоят существенно из того же материала, с той лишь разницей, что песчаники здесь являются более крупно-зернистыми. Кроме того, и метаморфизм здесь проявляется несколько слабее, ибо местами можно наблюдать отдельные неправильные полосы относительно свежих пород, что, повидимому, объясняется более слабым или совсем отсутствующим в данных участках контактным метаморфизмом.

На западном склоне сопки Колпак, по небольшому ключу, впадающему справа в рч. Ревневку, видно, как породы зелено-фиолетовой формации постепенно переходят в серые, местами серовато-черные мергелистые сланцы и песчаники с меридиональным простираем и падением на В  $60^\circ$ ; они переслаиваются с линзочками известняка, содержащего фауну *Calopoecia anticostiensis* Bill и *Favosites Krasnikovi* n. sp., отнесенную К. В. Радугиным к верхам нижнего силура.

Таким образом, в верхних частях зелено-фиолетовой формации появляется мергелистый горизонт, содержащий фауну, вполне определенно указывающую на нижнесилурский возраст всей этой формации, относимой алтайскими геологами вообще к кембрисилуру.

Выше описанного нами горизонта сопки Колпак мы встречаем милонитизированные глыбы, а затем и коренные выходы сильно раздробленного, брекчиевидного, с богатою фауной кораллов и криноидей, известняка, которым и слагается вся сопка. Необходимо отметить, что в системе рч. Камышенки, в отдельных местах этого участка, мы встречаем еще небольшие поля силуродевонской формации, сохранившиеся от денудации.

Далее на восток, примерно от среднего течения рч. Березовки, притока Камышенки, до ее вершины тянется полоса крутопоставленной нижнедевонской формации, состоящая из известняка, мергелей и конгломератов. Эта формация срезается, повидимому, крутой тектонической линией, по которой и произошел взброс зелено-фиолетовой толщи на силуро-девон.

Для петрографической характеристики зелено-фиолетовой формации мы приведем здесь микроскопическое описание лишь некоторых наиболее распространенных ее элементов.

1. Глинисто-кремнистые серицитовые сланцы. Основная масса в этой породе представлена глинистым серицитизированным материалом—цементом и угловатыми зернышками кварца, нередко группирующимиися в отдельные скопления. В довольно большом количестве по породе рассеяны черные точечки органического вещества в форме графита. Порода разбита системой трещинок, выполненных кварцем с облачным погасанием. Изредка встречаются более кремнистые породы, в которых видны округленные контуры скорлупок радиолярий.

2. Хлорито-серийтовый пиритизированный кремнистый сланец. Минералогический состав этой породы — кварц с бахромчатыми очертаниями, цементированный тонкоглинистым материалом, хлорит, серицит, черные точечки графита, неравномерно распределенного по породе.

3. Лиловый кремнисто-глинистый сланец. Основная масса в этой породе состоит из тонкого глинистого материала буровато-лиловой окраски с большим количеством тонко-рассеянного органического вещества. Кроме того, порода разбита системой трещинок, идущих в самых различных направлениях, нередко пересекающихся между собою. Эти трещинки выполняются кварцем с облачным погасанием. По этим же трещинкам проник кальцит, который как-бы наложился на кварц. Вполне очевидно, что и кварц и кальцит в данной породе не являются продуктами перекристаллизации, а являются минералами гидротермального образования.

4. Буровато-серый известково-хлорито-серийтовый песчаник. Этот песчаник состоит из угловатых, часто с бахромчатым очертанием, зерен кварца и полевого шпата с ярко выраженным полисинтетическими двойниками. Цемент состоит из тонкозернистого кварцево-полевошпатового материала, кальцита, хлорита и серицита. Нередко встречаются зерна рудного минерала.

5. Мраморизованный известняк. Как уже указывалось, известняк в зелено-фиолетовой толще встречается то в виде пластов, то в виде линз. Обычно он тонкозернистой разности. Окраска его то грязновато-серая, то молочно-белая, с зеленоватым оттенком, сахаровидного строения. Известняк под микроскопом показывает свое однородное тонкозернистое строение. В качестве примеси в нем содержатся зернышки кварца с заметным облачным погасанием и черные точечки органического вещества.

6. Рассланцованный диабаз. Порода встречена по рч. Татарке ниже устья ключа Пашина. Она характеризуется тонкокристаллическим строением вторичного происхождения; в ней сохранились отдельные участки альбитизированного полисоматически плагиоклаза. Вообще же в состав породы, кроме альбита, входят: 1) титанит, образовавшийся за счет разложившегося титанистого авгита, 2) зеленая роговая обманка в неправильных призмах с расслоенными краями, 3) хлорит, 4) эпидот, 5) серицит. Порода не сохранила своего первоначального облика и структуры, будучи сильно изменена в результате бокового давления и последующей перекристаллизации, повидимому, под влиянием воздействия эмана-

ций. Во всяком случае можно установить, что она образовалась из диабаза, слагающего, повидимому, силла в данной формации.

7. Железистый силицилит. Эта порода является одной из характерных для зелено-фиолетовой толщи, встречается в ней довольно часто в виде прослоев или жил самой различной мощности, согласуясь в общем с направлением рассланцовки формации; она имеет яшмовидный облик и обычно окрашена в сургучно-красный цвет.

Под микроскопом порода состоит преимущественно из кварца то тонкозернистого, то крупнозернистого строения. Зерна кварца претерпели катаклаз, обладая волнистым погасанием, ориентированным в одном направлении. Особенно хорошо это видно на крупных зернах кварца. Кроме кварца, порода в той или иной степени обогащена рудными минералами типа магнетита и гематита; в одной из таких жил, встреченной нами на водораздельной гриве в вершинах ключей Денисова и Лиственного, являющихся правыми притоками рч. Березовки, при обработке материала обнаружено видимое золото, правда, в небольшом количестве. В общем, по ряду образцов можно определенно установить, как первичный, несомненно, осадочный очень тонкозернистый железистый силицилит постепенно разбивается кварцевыми жилками, с параллельной перекристаллизацией гематита, и затем превращается в кварцево-гематитовую убогую руду, часть рудных минералов которой частично попала с эманациями или из нижних частей того же горизонта или из магмы. После своего образования эта порода подверглась еще не раз давлению, которое—между прочим—разбило ее на линзообразные тела.

Вся метаморфическая зелено-фиолетовая формация подверглась неоднократно интенсивным дислокациям, в результате чего она собрана в крутые складки нескольких порядков. Слои формации поставлены почти на голову, интенсивно рассланцованны в направлении  $320-350^{\circ}$  с преобладающим падением на В под углом  $70-90^{\circ}$ , так что общее простирание формации остается меридиональным. Наряду с интенсивной и неоднократной дислокацией, зелено-фиолетовая формация подверглась различной степени метаморфизму как региональному, так и kontaktовому, о чем свидетельствует наличие в ней интрузий гранита и диорита, а также мелких изверженных тел других пород, вызвавших то или иное kontaktовое изменение. Кроме того, наличие в данной толще довольно часто встречающихся окремненных участков, в той или иной мере пиритизированных и вообще метасоматизированных, позволяет думать о том, что на глубине в этой толще мы имеем также магматические тела, которые, повидимому, и вызвали как окремнение и другие метасоматические явления, так и пиритизацию, но еще не вскрытые денудацией. Под влиянием регионального метаморфизма зелено-фиолетовая формация подверглась то довольно тонкой почти листоватой, то более грубой и неправильной рассланцовке, в зависимости от состава, причем на плоскостях рассланцовки мы обычно встречаем новообразования в виде хлорита и серицита, реже и меньше эпидота, по-

чему сланцы на плоскостях рассланцовки получили шелковисто-серебристый вид.

Наряду с вертикальной более правильной рассланцовкой зелено-фиолетовая толща испытала и другие типы дислокаций в виде горизонтальных трещин скалывания, которые секут кварцевые жилы, тогда как скорлуповатая рассланцовка, разбившая сланцы в порошок по отдельным зонам, обходит эти кварцевые жилы, что свидетельствует об ее более молодом происхождении. Более правильная вертикальная рассланцовка вместе с горизонтальными трещинами скалывания в массивных песчаниках дают типичную квадерную отдельность, которая особенно хорошо выражена в зеленосерых и лиловых песчаниках, столь развитых в среднем и в верхнем течении рч. Соловьихи.

Кроме всего вышеприведенного, зелено-фиолетовая формация характеризуется наличием в ней своеобразных тектонитов (рис. 3 и 4), с прекрасно выраженнымми поверхностями притирания, обращенными, в большинстве случаев, своей изогнутой стороной на ЮЗ, что и указывает на направление тектонических сил, действовавших с ЮЗ. Квазигалька тектонитов широко распространена в зелено-фиолетовой формации и иногда может привести к ложному впечатлению конгломеративных горизонтов. Вместе с тем, в этой древней формации мы довольно часто встречаем микровзбросы, обычно с небольшой амплитудой, измеряемой в сантиметрах.

При сложной тектонике района очень трудно и, вероятно, даже невозможно установить мощность описанной формации, ибо она разбита несколькими системами трещин сланцеватости, затушевавшими элементы ее залегания. Во всяком случае нужно думать, что, поскольку при движении с З на В мы встречаем все новые, а именно—более высокие горизонты зелено-фиолетовой формации, мощность ее очень значительна, измеряясь километрами.

#### IV. Силуро-девонские формации.

Следующей по возрасту крупной формацией в нашем районе является нижне-девонская, которая пользуется довольно широким распространением, будучи встречена в поле развития зелено-фиолетовой толщи в виде широких полос, вытянутых в меридиональном направлении.

Для некоторого удобства, каждой из этих полос нами придается особое название. Так, крайняя западная полоса, протягивающаяся по р. Ану, начиная от с. Сибирячихи до д. Березовки, затем захватывающая почти весь кл. Денисов (правый приток рч. Березовки) и значительную верхнюю часть кл. Ганина (приток Ануя) и уходящая далее на север через д. Соловьиху, названа Ану́йско-Ганинской полосой. Восточная полоса, расположенная в системе рч. Камышенки и, главным образом, в верхнем течении ее правого притока—рч. Березовки, названа Камышенской полосой.

Нужно сказать, что как та, так и другая полосы и с запада и с востока ограничены зонами нарушения, в той или иной мере нами

установленными, представляя, повидимому, грабены, образовавшиеся в результате разрыва сплошности, вероятно, при повторном пликативном процессе, собравшем в складки эту толщу вместе с подстилающей, к тому времени уже жесткой зелено-фиолетовой формацией. Остановимся на характеристике каждой из этих полос.

а) А нуйско-Ганинск ая полоса, вытянутая в меридиональном направлении, имеет следующий разрез по правому берегу Ануя у д. Березовки (снизу вверх): 1) красно-бурые, звенящие песчаники, с прослойми зелено-серых сланцев, мощностью до 1 км<sup>1</sup>); 2) зеленые мергелистые сланцы—40 м; 3) серые маломощные, мраморизованные известняки с редкой фауной; 4) зеленовато-серые мергеля; 5) конгломераты с галькой окремненных пород до 15 м; 6) зеленые мергелистые сланцы с прослойми зелено-серых песчаников—280 м; 7) зелено-серые известковистые песчаники с прослойми мергелей—200 м; 8) мощные известняки (рифы) с богатой фауной кораллов и криноидей.

Вся толща полосы подверглась неоднократному тангенциальному давлению, хотя и менее резко, чем нижнесилурийская толща. Во всяком случае она собрана в крутые складки почти меридионального направления, часто изоклинального порядка, при чем слои кротко поставлены почти на головы, с преобладающим падением на восток под углом 70—90°. Наряду со складками первого порядка мы в ней встречаем и более мелкие складки, а иногда можно наблюдать и дисгармоническую складчатость с причудливой тонкой плойчатостью и гофрировкой, что вполне естественно, так как эта толща не является однородной по своему литологическому составу. Известняки и песчаники в виде более или менее мощных отложений, несомненно, играли роль тех компетентных слоев, которые вынуждали мергелистые образования к указанной тонкой плойчатости и гофрировке, как более податливую массу.

Наряду со складчатостью нижнедевонская толща подверглась достаточно, хотя и не столь сложной, как в нижнесилурийской формации, рассланцовке, близкой к меридиональному направлению, причем эта рассланцовка в различных случаях проявляется по различному; то она тонко и правильно разлистоvana; наблюдаясь в глинистых сланцах; то более грубая и неправильная, отвечающая более грубозернистым песчанистым образованиям. Нередко мы встречаемся с грифелевидной отдельностью, например—по левому берегу Ануя ниже с. Сибирячихи в скалистом выходе темносерых известковистых песчаников и сланцев. В другом месте, по правому берегу Ануя, у д. Березовки, лиловато-бурые песчаники наряду с общим простиранием рассланцовки СЗ 345° дают классическую рубчатую поверхность. Такая грифелевидная, а иногда и рубчатая, отдельность обусловлена несовпадением слоистости с рассланцовкой. Здесь же нужно отметить, что для этой формации, как и для нижнесилурийской, весьма характерно наличие в ней тектонитов с квази-

<sup>1)</sup> Во всех разрезах, как и в данном, мы указываем лишь приблизительную мощность, без учета дополнительной складчатости и возможных дизъюнктивных нарушений.

галькой, состоящей существенно из оглаженных обломков песчаника и известняка. Размеры таких тектонитовых обломков самые различные—от 0,5 см до десятков см в поперечнике, а в известняках они измеряются иногда и в метрах (рис. 5).

Происхождение тектонитов таково. В толще мы имеем породы с различной сопротивляемостью давлению, в результате чего глинистые сланцы тонко разлистоились, тогда как отдельные прослойки песчаника в этих сланцах, как менее податливые, раздробились на обломки, которые и переместились, при этом округляясь. То же самое происходило с отдельными слоями известняка. Такая картина, усложненная кроме того, бесчисленным количеством микровзбросов, иногда создает впечатление конгломеративных горизонтов.

Остановимся еще на описании известняков и их взаимоотношении с мергелистыми породами. Известняки в этой формации встречаются часто в виде то более или менее округленных или линзовидных глыб, которые оказываются как-бы вдавленными в мергелистые сланцы. Иногда известняк как-бы несогласно лежит на мергелистых сланцах. В действительности мы имеем одну формацию в различном литологическом проявлении. Такую картину мы наблюдаем, например, по правому берегу Ануя, немного ниже с. Сибирячихи, где на головах зеленых мергелистых сланцев (очень похожих по своему облику на нижнесилурийские), а также и внутри их, встречаются отдельные участки известняка, фауна из которого идентична сланцам, включающим в себе известняк. Из рис. 6 видно, что здесь мы, повидимому, имеем остатки ядер небольших синклиналей с погружающейся осью на север, а также тектонит. О том, что здесь могло происходить вдавливание в мергелистые сланцы не только известняка, но и песчаника, говорит рис. 7.

В другом случае, в этой формации известняк проявляется то в виде слоев, то в виде линз, причем в том и в другом случае мощность их самая различная; всюду заметна перемежаемость известняков с мергелями.

В третьем случае известняк проявляет себя в виде довольно больших полей, то расширяющихся, то сужающихся, но в общем ориентированных в меридиональном направлении; их мы относим к рифовым образованиям. Они наиболее широко развиты в таких участках, как с. Сибирячиха, у д. Березовки, а затем севернее и восточнее кл. Ганина в районе д. Соловьевихи. Границы таких полей, показанные на карте, не могут претендовать на точность, так как специального их оконтуривания нами не делалось. Попутно следует заметить, что вышеуказанные области распространения известняка характеризуются наличием в них карстовых явлений, хотя и небольших по своим размерам. Наличие карстовых воронок нами устанавливается в районе д. Березовки несколько южнее сопки Поручинской<sup>1)</sup>, а затем почти на самой границе фаса, западнее д. Соловьевихи. Наряду с карстовыми явлениями нужно указать и на нали-

<sup>1)</sup> По словам жителей д. Березовки, в 1930 г. здесь произошел провал, сопровождавшийся довольно сильным гулом.

чие пещер в известняках, развитых у с. Сибирячихи, которые остались нами не осмотренными, а также в известняках у д. Березовки южнее сопки Поручинской, где эти пещеры достигают 20 куб. м по объему.

Далее, остановимся на описании разреза формации по кл. Ганину, так как он является интересным в том отношении, что здесь мы имеем хорошо выраженный брахиоподовый горизонт. Разрез по кл. Ганину нами приводится с запада на восток, примерно, от места, где ключ делает резкий поворот на восток, и до вершины этого ключа, имея следующий вид (снизу вверх): 1) серевато-зеленые известковистые песчаники и сланцы; 2) серовато-белые известняки с редко встречающимися остатками члеников криноидей; 3) зеленые песчаники с прослойями сланцев; 4) желто-бурые песчаники с фауной брахиопод; 5) зелено-серые мергелистые сланцы; 6) известняки, содержащие фауну кораллов; 7) желто-бурые песчаники с большим количеством фауны брахиопод и водорослей; 8) светлосерые известняки, повидимому, срезающиеся трещиной нарушения.

Из приведенного разреза мы видим, что породы, слагающие бассейн кл. Ганина, по своему общему облику особенно не отличаются от пород, приведенных в разрезе по Анью, и, повидимому, являются лишь более верхними горизонтами все той же нижнедевонской формации. Степень дислокации этого участка остается, примерно, такой же, как и во всей толще, с той лишь разницей, что в самой вершине ключа желто-бурые брахиоподовые песчаники имеют простирание сланцеватости  $330^{\circ}$  с падением на восток под углом  $80^{\circ}$ , затем вниз по ключу сланцеватость резко меняет направление простирания на  $25-35^{\circ}$ , которое и выдерживается до места резкого поворота ключа на восток. Такого рода явление изменения направления сланцеватости может быть объяснено чисто местными условиями проявления дислокаций, так как в другом месте, в низовых речек Соловьихи (левой), мы встречаем те же брахиоподовые песчаники, но уже с меридиональным направлением сланцеватости.

б) Камышенская полоса несколько отличается от только что описанной Ануйско-Ганинской полосы, причем наиболее существенным ее отличием является отсутствие желто-бурых песчаников с фауной брахиопод, весьма характерных для самых верхних горизонтов выше указанной полосы, а также то, что в этой полосе имеется изрядное количество конгломератов, которые содержат гальку известняка с обильной фауной, главным образом, кораллов и мшанок; среди них встречен *Halysites*.

При дальнейшем описании Камышенской полосы мы должны будем выделить собственно Камышенскую полосу и ее западный участок, в который войдут сопка Колпак и другие мелкие островки верхнесилурской формации.

Собственно Камышенская полоса, будучи вытянута почти в меридиональном направлении, представляет сложную синклиналь, осложенную в краевых частях дизъюнктивными нарушениями. Правда, явных тектонических границ мы здесь не могли наблюдать, но резкая смена пород, слагающих эту полосу, с окружающими породами,

относящимися к нижнесилурийской формации, позволяет высказать такое предположение.

Литологически собственно Камышенская полоса слагается существенно беловато-серыми и грязно-серыми известняками с редко встречающейся в них фауной кораллов, зелеными и зелено-серыми мергелистыми сланцами, лиловато-бурыми и зелено-серыми песчаниками и конгломератами.

Известняки в этой полосе ведут себя довольно непостоянно. Местами мы встречаемся с их мощным развитием. Например, начиная от развилики рч. Березовки и до ее среднего течения, где, по-видимому, проходит западная тектоническая граница, известняковая толща расширяется, принимая несколько вытянутую форму, близкую к меридиональному направлению. Здесь известняк перекристаллизован, редко содержит фауну фавозитов и остатки члеников криноидей и часто по трещинкам залечен вторичными жилками кальцита. В другом месте известняки тонко переслаиваются с желтовато-зелено-серыми и лиловато-серыми сланцами. Простиранне таких слоев СЗ 345°, падение на В под углом 40°. Наконец, в 3—4 км восточнее д. Камышенки, на северном склоне фаса Алтая, мы наблюдаем и более грубое переслаивание известняка с серовато-желтыми песчаниками, часто конгломератовидными, простирающимися СВ: 10° с падением на В под углом 80°. Мощность слоев известняка здесь достигает 100 м. Фауны в них нами не встречено. Такие слои довольно часто здесь повторяются, что может служить некоторым указанием на мелкую складчатость данного участка.

Обратимся к описанию конгломератов, которые наиболее часто встречаются выше развилики рч. Березовки. Особенно хорошо они представлены по левой отноге рч. Березовки против Верхне-Березовского выселка у самой дороги, где мы встречаем крупные выходы конгломерата. Он состоит существенно из гальки песчаника серого цвета, размером в поперечнике до 20 см, из полуокатанной гальки известняка, красноватой и серой окраски, с обильной фауной кораллов *Favosites* и *Halysites* и других форм, а также из хорошо окатанной гальки окремненных пород, окрашенных в зеленые, серые, черные и красные цвета, при размере галек от 0,5 до 1—2 см в диаметре. Цемент конгломерата — серый, песчанистый, от мелко до крупнозернистого строения; зерна цемента состоят из указанных выше окремненных пород. С конгломератами переслаивается песчаник серого, при выветривании зеленого цвета. Простиранье слоистости СВ: 15°, падение на З под углом 75°. Мощность конгломератов около 20 м.

Идя далее на В, в 0,5 км от данного обнажения мы встречаем снова слой конгломерата, цемент которого более зеленой окраски, а в гальке известняка реже встречается фауна. Элементы залегания этого слоя остаются прежними.

Через 50 м на В опять — слой конгломерата, примерно, того же характера, но элементы его залегания изменились, а именно простиранье здесь СВ: 30°, падение на В под углом 35°. Характерно для последнего слоя конгломерата отметить еще то, что по простираннию он переходит в конгломератовидные песчаники.

Интересен вопрос о возрасте и условиях образования описанных конгломератов. Галька известняка первого выхода содержит в себе *Halysites*. А нужно сказать, что Б. Ф. Сперанский в соседнем участке Алтая обнаружил в мергелях верхнего горизонта верхнего силура большое количество *Halysites* и других окаменелостей<sup>1)</sup>. Поэтому наши конгломераты моложе мергелистых горизонтов, установленных Сперанским, и могут знаменовать нижний девон.

в) Западный участок Камышенской полосы. Этот участок может быть охарактеризован в следующих чертах. На западном склоне сопки Колпак встречаются мергелистые горизонты, содержащие фауну *Calopoecia anticostiensis* Bill и *Favosites Krasnitskovi n. sp.*<sup>2)</sup>, которая указывает на нижнесилурийский возраст этих мергелистых сланцев. Что касается сильно развитых в верхней части сопки известняков, которые содержат богатую фауну кораллов, то по общему облику она отнесена к верхнему силуру. Наличие милонитизированных глыб из того же самого известняка и вообще сильной раздробленности-брекчиевидности этого известняка в его коренных выходах, соприкасающихся с нежнесилурийской формацией, а также резкая изогнутость мергелистых сланцев в этом месте позволяют нам более или менее определенно провести здесь зону смятия между этими формациями, образавшуюся в результате дисгарманической складчатости.

К востоку известняк с. Колпак сменяется зеленовато-серым крупного строения довольно свежим по общему облику песчаником, с ясно выраженным наслоением 10—20° и с падением на СЗ под углом 40°, что указывает на сравнительно более пологое залегание данной формации. В песчанике распространены довольно пологие поверхности отдельности, по которым происходило скольжение с Ю на С, при простирации плоскостей скольжения 360° и падения на В под углом 70°. Как с запада, так и с востока этот песчаник подстилают известняки, сильно разбитые и перекристаллизованные, так что в этом перемещении, повидимому, мы имеем остаток ядра синклинали рассмотриваемой формации.

Далее по рч. Камышенке, несколько ниже устья рч. Березовки (приток Камышенки), на западном склоне видно как на голо-вах зелено-фиолетовых сланцев несогласно налегает такой же известняк. В известняке наблюдается слоистость, простирающаяся 340° с падением на В под углом 70°. Характерно отметить, что в нижней части склона, почти над самым руслом рч. Камышенки, в крутом обнажении выходит порода, состоящая на 50% из кусочков кварца, в той или иной мере окатанного, а остальная масса—цемент—представлена красно-бурым песчанистым материалом. Кусочки кварца под микроскопом сильно разбиты. Рис. 8 указывает на взаимоотношения известняка и милонита с зелено-фиолетовой формацией. Возможно, что он является древним делювием, на который

<sup>1)</sup> Б. Ф. Сперанский. Предварительный отчет об исследованиях в СВ 1/4 л. 14 р. Х листа, 1929 г. (рукопись).

<sup>2)</sup> Определение К. В. Радугина.

потом трансгредировало верхнесилурийское среднедевонское море. Этот вопрос пока остается открытым, так как у нас нет достаточно данных для окончательного его решения.

Необходимо еще отметить, что в системе рч. Камышенки, в отдельных местах этого участка, мы встречаем небольшие поля силуро-девонской формации, сохранившиеся от денудации. Так, по данным коллектора О. Е. Новицкого, проделавшего маршрут по кл. Известковому, левому притоку Камышенки, из описанных им обнажений видно, что вершины сопок в этом месте слагаются известняками, а под ними выходят песчаники, характерные для зелено-фиолетовой толщи. В другом месте, немного выше устья кл. Большого, правого притока Камышенки, в обнажении мы встречаем шапку известняка с редкой фауной кораллов, из-под которого ниже по склону выходят сначала щебенка зелено-фиолетовых сланцев, а затем и коренные выходы тех же сланцев. Такая картина с очевидностью говорит о налегании известняка верхнесилурийской формации на нижнесилурийской, при нарушении естественной границы между этими формациями.

В заключение подчеркнем, что как западная Ануиско-Ганинская полоса, так и восточная Камышенская полоса, а равно и средний клинообразный участок, относимые нами к нижнему девону, претерпели интенсивную, притом неоднократную дислокацию, в результате которой эта формация была собрана в крутые складки, не без разрывов сплошности, по которым в отдельных участках образовались структурные грабены.

## V. Интрузивные формации.

На исследованном планшете среди описанных осадочных формаций встречаются тела изверженных пород, строго подчиненные той или иной формации. Различный состав и строение, а также различные формы залегания этих интрузивных пород позволяют разбить их на три группы и выделить в следующие формации: 1) гранитовая, 2) кварцево-альбититпорфировая и 3) монцонитовая.

### 1. Гранитовая формация.

Эта формация расположена в ЮЗ. углу исследованного планшета и состоит как бы из двух тел, которые за рамкой планшета, повидимому, сливаются в одно тело.

Южное тело представлено порfirгранитом, основное тело которого завуалировано матрацевидными глыбами аплитовидного гранита.

Этот участок по формам рельефа, а также и гипсометрически отличается от рельефа осадочной зелено-фиолетовой толщи, которую интрузив прорывает. Это вполне понятно, так как гранит, будучи более стойким к агентам выветривания и размыва, медленнее поддавался их воздействию и, таким образом, получил относительно более высокое положение над осадочной толщой. Разнообразные формы выветривания Алтайских гранитов, не раз нашедшие

свое описание в литературе по Алтаю, позволяют нам не останавливаться на этом вопросе детально, и мы ограничимся указанием лишь того, что гранит наш характеризуется, главным образом, матрацевидной, иногда лепешковидной отдельностью, нередко увенчиваясь башневидными останцами. Нужно отметить, что склоны сопок Луковой и Малой Рассыпной, сложенных гранитом, окутываются большими россыпями из глыб аплитовидного гранита и, как правило, залесены, что делает участок мало доступным для исследования.

Порфирогранит представляется светло-окрашенным, от средне до крупнозернистого строения, с порфировыми выделениями серого, иногда дымчатого кварца, размеры зерен коего достигают  $1 \times 0,5$  см, и полевого шпата, примерно, таких же размеров, что и кварц. Из темноцветных присутствуют существенно биотит, листочки которого достигают небольших размеров, измеряясь десятыми долями см. В гораздо меньших количествах к биотиту примешивается мусковит.

Под микроскопом основная масса неравномерно-зернистая, состоящая из кварца и плагиоклаза, при совершенно неясном, вследствие метаморфизма породы, ортоклазе. Кварц проявляется в виде небольших изометрических зернышек, которые являются продуктом раздробления и перекристаллизации более крупных зерен. Вообще порода подверглась довольно сильному давлению, на что указывают раздробленность зерен кварца, а также волнистое погасание более крупных его индивидов. Плагиоклаз (олигоклаз-андезин) сильно изменен, покрываясь сыпью соссюрита. Большая часть биотита представлена тонколистоватым агрегатом вторичного происхождения, причем тонкий биотит иногда ассоциирует с тонкозернистым кварцем и плагиоклазом. Иногда, в более крупных листочках биотита заметны плеохроичные дворики, хотя самого минерала, вызвавшего эти дворики, не видно. Из рудных минералов мы встречаем только пирит в виде небольших зернышек, частично перешедших в лимонит.

Следует заметить, что данное тело гранита сечется жилками и дайками аплита самой различной мощности. Эти аплиты являются продуктом дополнительных интрузий той же гранитной магмы. Особенным развитием пользуется аплитовидный гранит, который имеет светлую окраску, мелкое и неравномернозернистое строение с выделениями грязнобелого полевого шпата и кварца. В породе в довольно большом количестве присутствует темноцветный компонент, скапляющийся неправильными тонкозернистыми участками. Есть немного мусковита в виде небольших листочек, довольно равномерно распределенных в породе.

Под микроскопом аплитовидный гранит дает панициоморфно-зернистую структуру с небольшим количеством фенокристов щелочного полевого шпата и кварца. Кварц обычно наблюдается в виде изометрических зерен, с заметным волнистым погасанием. Присутствующий в небольшом количестве микроклин в соответствующих сечениях показывает отчетливо выраженную решетчатую структуру. Плагиоклаз проявляется в виде небольших листов с тонкой двойниковой штриховкой, встречающихся как самостоятельно, так

и в зернах щелочного полевого шпата, а также иногда и кварца. Биотит наблюдается неправильными группами, перешедши в хлорит и частично в мусковит. Магматогеновыми компонентами являются: кварц, микроклин, олигоклаз-альбит и биотит. К новообразованиям, появившимся в результате пневматолитовой фазы автометасоматоза, надо отнести турмалин, со слабыми цветами плеохроизма, в неправильных, как-бы разъеденных, столбчатых кристаллах, и мусковит. К термальной фазе относятся серицит, цоизит и пирит, за счет которого образовался лимонит, как продукт выветривания.

Северный участок этой формации представлен также периферической частью интрузивного тела, уходящего на запад за рамку планшета и далее нами не прослеженного.

Характерно отметить разницу в рельфе между южным и северным участками данной формации. Если при описании южного участка нами указывалось на сравнительно повышенные формы рельефа относительно осадочной толщи, то в северном участке мы имеем как раз противоположное явление, именно северный участок, занятый интрузивной породой, составляет пониженную часть в виде котловины, края которой состоят из осадочных пород зелено-фиолетовой толщи, в той или иной мере окремненных и потому гипсометрически занимающих более высокое положение, чем интрузивная порода.

Состав формации северного участка входят порфиргранит и его гибридная разность, а также кварцевый диорит. К сожалению, о границах соприкосновения этих пород, а также и о размерах их тел мы ничего сказать не можем, так как этот участок, благодаря пониженным формам рельефа, замаскирован почвенным покровом и целиком занят под пашни. И только небольшие расстояния между обнажениями, из которых взяты образцы этих пород, дают возможность сказать, что гибридная разность гранита, а также кварцевый диорит, повидимому, являются сравнительно мелкими интрузивными телами, будучи расположены в периферической части порфиргранита, являющегося главной породой в описываемой формации.

Порфиргранит не отличается от выше описанной породы.

Гибридный гранит макроскопически отличается от порфиргранита более темной окраской, в связи с заметным количеством биотита, группирующегося в отдельные скопления. В фенокристах — полевой шпат. Под микроскопом бросается в глаза порфировый характер породы, причем фенокристами являются довольно крупные изъеденные по периферии призмы зонарного плагиоклаза. Основная масса состоит из кварца с волнистым погасанием, плагиоклаза и слегка перититизированного ортоклаза с более или менее заметным количеством листочек биотита, обычно изъеденных и содержащих плеохроичные дворики, а также собирающихся в скопления, которые, очевидно, и придают породе меланократовый облик, образовавшись, нужно думать, за счет ассимиляции боковых пород. Эта порода, как и предыдущие, испытала небольшой катаклаз с последующими метасоматическими изменениями, здесь — впрочем — не резко выраженным.

Кварцевый диорит под микроскопом представляется состоящим существенно из лейст плагиоклаза и призм роговой обманки, которая всюду перекристаллизовалась в бледный актинолит нередко с растрепанными формами, при выделении небольшого количества тонкозернистой руды; в промежутках имеется немного ксеноморфного кварца, обладающего легким волнистым погасанием. В качестве метасоматического проявления, кроме актинолитизации амфибола, нужно отметить легкую соссюритизацию плагиоклаза.

Из описания пород гранитовой формации явствует, что они испытали метаморфизм, выражившийся сначала в катаклазе, а затем в перекристаллизации, а также и метасоматозе, вызванном какими-то эманационными процессами.

Контактовая зона вокруг гранитной интрузии имеет ширину в 1,5—2 и более км. Контактовое воздействие вблизи гранитной интрузии выражалось в перекристаллизации зелено-серых сланцев и песчаников, с образованием черных плотных биотитовых горнфельзов, тогда как по мере удаления от контакта степень перекристаллизации пород уменьшается. Иногда в роговиках можно наблюдать полосчатость, которая могла быть обусловлена первичной неоднородностью строения исходной породы, несомненно, осадочного происхождения. Необходимо также отметить широкое проявление в роговиках тонкопятнистой и иногда узловатой текстуры.

Типичный горнфельз под микроскопом представляет тонкозернистую кварцево-биотитовую массу с зернышками руды или графита, а также с большим количеством призматических стяжений полевого шпата, образующего в этих призмах однородные кристаллы, сильно, впрочем, завуалированные мельчайшими включениями зернышек кварца и темного пигмента. Местами эти образования имеют б. или м. закругленные очертания, и их можно было бы принять за хиостолит или кордиерит, но переходные формы, а иногда заметная полисинтетическая штриховка указывают на полевошпатовый состав этих оригинальных кристаллических форм, придающих породам макроскопически узловатый характер.

Надо полагать, что контактовая зона распространяется шире, чем это показано на карте, но здесь мы оказываемся в затруднительном положении, так как подчас становится невозможным отличить процессы контактowego воздействия данной интрузии от гидротермального метаморфизма, вызванного более поздней интрузией, потому что и в том и в другом случае породы становятся потемневшими и более уплотненными.

## 2. Кварцево-альбититпорфировая формация.

Породы этой формации заслуживают особого внимания, так как с их интрузиями, по нашему мнению, связываются кварцевые жилы и железистые образования, столь распространенные среди зелено-фиолетовой формации. Кварцевые альбититпорфиры встречаются в различных участках зелено-фиолетовой толщи, будучи представлены в форме даек и штоков. Так, в вершине рч. Березовки (правый приток Ануя) нами зафиксированы 4 дайки кварцевого альбитит-

порфира. Они проходят в зелено-фиолетовых сланцах и песчаниках, вполне согласуясь с направлением рассланцовки и будучи вытянуты в меридиональном направлении. В этом направлении они прослеживаются до 2—3 км и более, достигая мощности от 10 до 30 м. Они обычно разбиты двумя трещинами отдельности: одна из них идет в вертикальном направлении, согласуясь с направлением рассланцовки, а другая отдельность проходит в горизонтальном направлении.

Макроскопически типичный кварцевый альбититпорфир представляет светло-серовато-зеленую, тонкозернистую породу, в которой можно увидеть мелкие фенокристы кварца и полевого шпата. Порода, повидимому, подверглась давлению, ибо водные окислы тяжелых металлов, распространяясь по трещинкам, придают ей полосчатый облик.

Микроскоп показывает, что наиболее распространенным представителем данной формации является — действительно-кварцевый альбититпорфир. Основная масса этой породы состоит из довольно мелкозернистого агрегата кварца и полевого шпата; ими же представлены и фенокристы, причем особенно выделяется кварц, образующий иногда правильные кристаллы различной величины. Интересно, что мелкие фенокристы кварца окружены венчиком гранофира. Порода испытала ясное давление и последующую резкую серицитизацию, особенно поразившую полевой шпат, который только по немногим сохранившимся участкам можно признать за альбит.

Изредка встречаются разности кв.-альбититпорфира, содержащие в выделениях заметное количество стопочек листочеков биотита, обычно осветленного.

Наконец, встречается разность пород формации, состоящая существенно из альбита и имеющая бостонитовый характер.

Данная интрузия произошла после основной рассланцовки зелено-фиолетовой формации, по которой ориентируются ее тела и, несомненно, после гранитовой интрузии, ибо дайки альбититпорфира встречаются то вблизи контактового пояса гранитного массива, то значительно удалены от него, имея притом совершенно иной фациальный характер.

Отметим, что в телах этой формации встречаются кварцевые жилки.

### 3. Монцонитовая формация.

Изверженные породы этой формации представлены существенно кварцевыми и бескварцевыми монцонитпорфирами и кварцевым авгитдиоритпорфиrom. Эти породы широко распространены среди осадочной толщи нижнедевонской формации, входящей в состав Ануиско-Ганинской полосы. Прорывая ее, они образуют то довольно крупные, то более мелкие тела в форме штоков и даек. Нередко такие тела, как это видно из геологической карты, группируются, образуя как бы клубни, представляющие ряд трубчатых тел, близко расположенных друг относительно друга.

Тела монцонитовой формации являются продуктом сравнительно молодых тектонических подвижек на Алтае, так как в исследованном районе они прорывают отложения нижнего девона.

Монцонитовая формация представлена следующими породами.

Кварцевый монцонитпорфир макроскопически представляет серовато зеленую тонкозернистую, часто плотного строения, породу. Среди основной массы в виде вытянутых столбиков и в больших количествах присутствует темноцветный компонент. В породе часто встречаются шлировые образования того же состава; их размеры, обычно, не велики, достигая  $1 \times 2,4 \times 5$  см.

Под микроскопом основная масса породы — тонкозернистая, состоящая из совершенно измененного полевого шпата и зернышек кварца, будучи обычно забита цоизитом, кальцитом и хлорито-биотитовой массой. Среди основной массы, в виде вытянутых лист и узких призм присутствует плагиоклаз с тонкой полисинтетической двойниковой штриховкой, сильно пораженный кальцитом и серицитом, а также роговая обманка, перешедшая в хлорит, и ромбический пироксен, который нацело замещается биотитовой массой, сохраняющей контуры темноцветного минерала, был и биотит, совершенно хлоритизированный.

Для породы характерны сильно развитые следующие вторичные минералы. а) Пирит, которого довольно много, причем он то встречается в виде небольших кубиков, то выполняет трещинки спайности, повидимому, пироксена, а также биотита. б) Хлорито-биотитовая масса, наблюдающаяся в больших количествах, она тонко размазана по шлифу и чаще всего концентрируется по периферии темноцветного компонента; хлорит, вероятно, образовался за счет роговой обманки и биотита, так как в некоторых случаях сохраняет спайность биотита. в) Клиноцизит, чаще встречающийся в виде вытянутых зерен, группирующихся в отдельных участках шлифа, занимая места ранее существовавших здесь темноцветных компонентов. г) Кальцит, как правило, в довольно большом количестве, при действии соляной кислоты на породу она вскипает; он также, главным образом, выполняет или темноцветный компонент или зерна полевого шпата. д) Изредка встречающиеся зернышки апатита, которые несколько округлены и ассоциируют с полевым шпатом.

В других телах этой формации, согласно микроскопического анализа, некоторые породы не содержат кварца, в остальном сохраняя тот же состав и структуру, что и кварцевые монцонитпорфиры; их мы называем бескварцевыми монцонитпорфирами.

Кварцевый авгитдиоритпорфирит встречен нами по рч. Березовке (приток Ануя); им слагается сопка Поручинская, расположенная по левую сторону рч. Березовки. В противоположном борту долины этой речки мы встречаем выше описанный кварцевый монцонит-порфир. Кварцевый авгитдиоритпорфирит макроскопически отличается от кв. монцонитпорфира лишь более серой окраской. Под микроскопом устанавливается, что основная масса породы представляется тонкозернистой, состоящей, повидимому, из поле-

вого шпата, будучи сильно забита биотитовой массой и кальцитом. Среди основной массы замечаются как бы в виде скоплений зернышки водянопрозрачного кварца с разъеденными краями. Из темно-цветных в больших количествах присутствуют авгит и гиперстен с ясно выраженным для них оптическими свойствами. Чрезвычайно большое место в породе занимает цоизит в виде коротко-столбчатых кристаллов с характерным для этого минерала фарфоровым оттенком, получающимся при затемнении зеркальца. Порода довольно сильно автометасоматизировалась, что нашло свое выражение в цоизитизации, хлоритизации, кальцитизации соссюритизации, с образованием ильменита за счет, вероятно, титанита.

Подводя итоги краткому описанию монцонитовой формации, мы приходим к следующему заключению.

а) Тела монцонитовой формации, прорывая Ануйско-Ганинскую полосу нижнего девона, вероятно, являются продуктом сравнительно молодых тектонических подвижек на Алтае.

б) Интрузии монцонитовой формации формировались не в один прием, о чем свидетельствует различная дифференциация монцонитовой магмы, нашедшая свое выражение в кварцевых и бескварцевых монцонитпорфирах и в кварцевом авгитдиоритпорфиrite.

в) Сильный автометасоматоз этих пород обусловлен частично трубчатой формой их тел, по которым особенно легко продвигались вверх эманации, изменившие породы формации часто до неузнаваемости.

г) Не исключена возможность того, что в участке Ануйско-Ганинской полосы нижнего девона мы имеем развитие диатрем, часть которых в свое время успела пробиться на дневную поверхность, а другие только близко к ней подходили, образуя встречающиеся здесь оригинальные брекчи осадочных пород.

## VI. Стратиграфия и тектоника.

При описании геологических формаций нами уже указывалось на взаимоотношения между ними, а наличие в них окаменелостей позволило установить их геологический возраст. Вследствие этого отношения интрузивных пород к той или иной осадочной формации дают возможность судить и об их относительном возрасте.

Наиболее древней формацией изученного района является осадочная нижнесилурийская (зелено-фиолетовая), простирающаяся в ССЗ—близком к меридиональному—направлении. Она слагается в своих нижних горизонтах существенно глинисто-кремнистыми сланцами, затем хлорито-серicitовыми пиритизированными кремнистыми сланцами, мраморизованными известняками небольшой мощности, лилово-зелено-серыми хлоритизированными сланцами, зелено-серыми и буровато-серыми известково-хлорито-еерицитовыми песчаниками, а также изредка силлообразными телами основных магматических пород. В самых верхних своих горизонтах формация увенчивается серыми и серовато-черными мергелистыми сланцами и песчаниками, содержащими *Calopoecia anticostiensis* Bill. и *Favosites Krasnicovi*.

и. sp., каковая фауна, по определению К. В. Радугина, характеризует верха нижнего силура. Эта толща, как видно из геологических отчетов, частью опубликованных, частью находящихся в рукописях, пользуется широким распространением на Алтае и по характеристикам геологов-алтайцев, в том числе и В. П. Некорешева<sup>1)</sup>, до сих пор относится условно к верхам кембро-силура. Теперь мы можем сказать о ней более определенно, что мы имеем дело с нижним силуром, фаунистически охарактеризованным.

Что касается мощности этой формации, то она для нас остается точно не определенной, так как вся она интенсивно дислоцирована, чрезвычайно сильно разбита и рассланцована, что является большим препятствием для определения ее действительной мощности. Но можно допустить, если учесть все нарушения в этой формации, что ее действительная мощность может оказаться раза в три меньше ее видимой мощности, т. е. равна, примерно, 5–6 км.

Итак, в ЮЗ. углу исследованного планшета зелено-фиолетовая формация прорвана интрузией гранита. Наличие явлений катаклаза минералов, входящих в состав гранита, со всей очевидностью говорит о том, что тело гранита подвергалось сильному тангенциальному давлению уже после его образования. Мы затруднены говорить о форме тела гранита, так как оно заходит в наш планшет лишь своей восточной периферической частью, но должны будем отметить, что контакт этого тела с вмещающей его осадочной толщкой очень крутой.

Контактовая зона, образованная гранитной интрузией и достигающая ширины 1,5–2 км и более, свидетельствует о большом масштабе интрузивного тела. Это контактное воздействие интрузии на осадочную толщу выразилось в ее полной перекристаллизации вблизи контакта и в простом ороговиковании вдали от интрузивного тела, при почти постоянном проявлении пятнистой и узловатой текстур горнфельзов.

Необходимо подчеркнуть то обстоятельство, что нижнесилурийская зелено-фиолетовая формация неоднократно подвергалась тангенциальному давлению, вследствие чего она чрезвычайно сильно разбита и рассланцована в ССЗ—почти меридиональном—направлении, очевидно под действием В. или З. давления, создавшего как пликативные, так и дизьюнктивные дислокации в этой формации. Соответственно постоянному изменению механических свойств формации, она по различному реагировала на неоднократно повторяющееся давление, в результате чего было создано 4 типа сланцеватости.

Первый тип сланцеватости выражается в виде весьма правильной и тонкой, почти листоватой, рассланцовки, имеющей вертикальное падение. Второй тип находит свое выражение в трещинах сколывания, близких к горизонтальному направлению. Этот тип сланцеватости наиболее часто и наиболее эффектно встречается в песча-

<sup>1)</sup> В. П. Некорешев. Геологический очерк Рудного Алтая. Известия ГГРУ. XLIX, 1930. № 5.

никах, образуя в них квадерную отдельность. К третьему типу мы относим скорлуповатую сланцеватость, разбившую по отдельным зонам сланцы в порошок. И, наконец, к четвертому типу мы относим тектониты. На их более подробном описании мы останавливались в соответствующих главах.

Наряду с выше описанными типами сланцеватости, нижнесилурийская формация претерпела и другие формы дислокации, проявившие себя в виде микровзбросов, наблюдавшаяся амплитуда коих не велика. Трешины таких взбросов, как правило, круто падают на В.

Далее мы укажем на взаимоотношения типов сланцеватости. Эти взаимоотношения в различных участках данной формации проявляются в следующем виде. Параллельно вертикальной сланцеватости проходят кварцевые жилы линзы, которые обтекаются скорлуповатой сланцеватостью и секутся горизонтальными трещинами скальвания. Это обстоятельство позволяет наметить такую последовательность в порядке образования сланцеватости. Первой — наиболее древней сланцеватостью будет вертикальная, часто тонко разлинованная, и к ней приурочены кварцевые жилы. Второй по времени образования будет скорлуповатая сланцеватость, обходящая кварцевые жилы. За ней следовала сланцеватость, проявившаяся в виде трещин скальвания, близких к горизонтальному направлению.

К тому геологическому моменту, когда собранная в складки зелено-фиолетовая формация была подвергнута процессам денудации, вероятно, в связи с новыми тектоническими подвижками по существовавшей к тому времени рассланцовке произошло интрудирование кварцево-альбититпорфировой магмы, давшей небольшие тела по форме даек от 10 до 30 м мощности и штоков. В связи с ними мы ставим образование кварцевых жил линз и убогих железистых кварцитов, столь развитых в нижнесилурской формации и подробно описанных в соответствующем месте.

На денудированную нижнесилурскую формацию трансгредировало верхнесилурское море, оставивши преимущественно известняковую формацию, фаунистически охарактеризованную; она сохранилась лишь в немногих мелких мульдах средней части планшета, и фауна ее не совсем ясна, почему данная формация выделяется несколько условно.

Несомненно, моложе формация, сохранившаяся в грабенах и состоящая из серо-желтых песчаников с богатой фауной брахиопод, а также из мощных рифовых известняков с богатой фауной кораллов, переслаивающихся с мергелями.

Этой формации мы присваиваем нижнедевонский возраст на основании фауны, нами собранной в этой толще. Это видно из следующего списка фауны, собранной в разных точках формации и определенной К. В. Радугиным, кроме разреза по кл. Ганину: *Favosites proximus* Hall, *Siringopora* cf. *bifurcata* Lonsd., *Favosites* sp., *Stromotopora florida* var. *prima* n. var., *Cyathophyllum hexagonum*, *Favosites* aff. *polymorphus* Goldf., *Cyathophyllum clarki* Schwartz, *Cyathophyllum* ex gr. *C. hexagonum*, *Heliolites* aff. de-

*cipiens* M. Co y, *Favosites Forbesi* var. *eifeliensis* (?) Nich., *Favosites* sp., близкий к *F. intricatus* Barr., *Cyathophyllum* sp., *Coenites lunata* Nich. and Hinde, var. major n. var., *Striatopora* sp., *Acerularia luxurianus*, var. *altaica* n. var., *Pycnostylus* (?) sp., *Heliolites* aff. *Nicholsoni* Eth., *Neofavosites Ussovi* n. gen. et sp., *Clathrodictyon vesiculosum* var.

Впрочем, решающее значение имеет фауна брахиопод. Эта фауна, собранная по кл. Ганину, предварительно определена Л. Л. Халфином, который дает следующий список: *Strophonella planuscula* n. sp., *Atrypa reticularis* L., *Cyrtina heteroclita* Defr., *Camarotoechia* sp., *Leptaena Bauei* Barr., *Spirifer togatus* Barr. На основании сравнения с более богатой и разнообразной фауной Медведева лога<sup>1)</sup> он указывает на принадлежность отложений ключа Ганина к верхам нижнего девона.

Трансгрессия верхнесилурийского, а затем и нижнедевонского моря на абрадированную к тому времени поверхность формации нижнего силура дала мощную толщу осадков. Отложение их проходило не в спокойной геологической обстановке, а при вероятных эпейрогенических подвижках, о чем свидетельствует быстрая смена различных пород, как то: сланцев, песчаников, известняков и интраформационных конгломератов, без заметных угловых несогласий между ними.

Следующая фаза дислокаций, возраст которой по нашим материалам установить невозможно, собрала всю эту толщу в крутые складки того же ССЗ. простирации, что и в нижнем силуре. Так и должно было произойти, ибо нижнесилурийская формация к тому времени вполне окрепла и тем самым при пликативных процессах, происходивших в мягкой силуро-девонской толще, навязывала ей свою форму и направление.

Возобновившееся после этой складчатости боковое давление усложнило строение силуро-девонской толщи, вызвав в ней плойчатость, кливаж и рассланцовку, примерно, того же характера, что и у нижнесилурийской толщи, с той лишь разницей, что все эти процессы проявили себя в ней гораздо слабее. Кроме того, при выкручивании формаций пограничные горизонты между нижним и верхним отделами силура испытали раздробление, каковые межформационные смещения морфологически походят на зоны волочения шарьяжей.

По всей вероятности, к этому же времени надо отнести и крупные дизъюнктивные дислокации, в результате которых образовались структурные грабены, занятые теперь силуро-девоном. Их меридиональное направление со всей очевидностью говорит о З. или В. направлении соответствующих тангенциальных сил.

Наиболее рельефно проявились взбросовые нарушения, ограничившие грабены с восточной стороны. В частности, восточная граница Ануйско-Ганинского грабена прослежена вполне отчетливо

<sup>1)</sup> Л. Л. Халфин. Некоторые новые данные о девонских отложениях Алтая 1934 г. (рукопись).

почти на всем своем протяжении, причем северная часть границы проявляется даже в рельефе вследствие избирательной денудации. Угол падения взбрасывания невозмож но установить, но так как линия нарушения в общем следует за рельефом, то можно думать, что взброс является не особенно крутым. Что касается западных границ грабенов, а также контура среднего поля с толщиной силура-девона, то они намечены лишь по резкой смене формаций.

В заключение нужно отметить, что в толще нижнего девона, состоящей из пород различных механических свойств, складчатость и последующая рассланцовка получили дисгармонический характер, а именно—наибольшей дислоцированности, в виде резкой плойчатости и сильной рассланцовки, подверглись горизонты гибких и податливых мергелей, тогда как известняки сохранили сравнительно спокойное залегание.

Обратимся к вопросу о возрасте интрузивов.

Гранитовая интрузия нами изучена на небольшой площади, так что неизвестна форма его тела. Если исходить из разбитости окраинной части тела, то граниту можно было бы придать таконийский возраст, но более вероятно, что он является варисцким, как всюду на Алтае, где и эти граниты местами разбиты. Что касается интрузии монцонит-порфиров, то она может быть и девонского возраста.

В последовавшее время на Алтае был ряд эпирогенических движений. Из них последние проявились в создании современных Алтайских гор, а также в образовании ряда террас и соответствующих отложений, нами описанных.

Тектоническая жизнь Алтая еще продолжается, находя свое проявление, между прочим, в землетрясениях<sup>1)</sup>, которые повторяются здесь сравнительно часто; так, в течение одного лета 1931 года, а именно в первой половине августа, нами замечено два случая землетрясения: первое 11 августа в 4 ч. утра у д. Солоновки, выразившееся в волнобразном колебании земной поверхности, и второе—16 августа в 8 час. вечера в с. Михайловском, проявившее себя более сильно, чем первое, и сопровождавшееся, опять-таки, волнобразным колебанием, настолько сильным, что висевшая лампа сильно качалась, стены дома трещали, на полу устоять было трудно; сильный испуг населения и животных. Таким образом, последнее землетрясение по интенсивности можно отнести ко II классу по шкале Rossi-Foreля. К сожалению, мы не можем сказать о направлении колебания этих землетрясений. В. П. Некорощев, приводя сводку землетрясений на Алтае, причину сейсмичности видит „в неравномерном глыбовом перемещении разбитой на отдельные участки древней складчатой глыбы,—фундамента Алтая. Одни участки этой глыбы в настоящее время представлены на поверхности, другие скрыты под покровом более поздних палеозойских слоев, но движение последних находится в прямой зависимости от движения подстилающего их фундамента“.

<sup>1)</sup> В. П. Некорощев. Землетрясения на Алтае и их связь с геологическим строением.—Вестник Г.К. № 7, 1927.

## Общие выводы.

Геологическая история Средне-Ануйского района и его особенности в стратиграфо-тектоническом отношении могут быть вкратце охарактеризованы следующим образом.

1. Наиболее древней формацией района является нижнесилурийская метаморфическая зелено-фиолетовая толща, верхние горизонты которой фаунистически охарактеризованы.

2. В одну из фаз таконийского диастрофизма она была собрана в складки ССЗ. направления.

3. Последующие тангенциальные давления, неоднократно повторявшиеся, вызвали в этой формации 4 типа сланцеватости.

4. К тому времени, когда формация была несколько денудирована, повторившиеся подвижки, возраст которых в районе не мог быть установлен, привели к интрузиям кварцевого альбитит-порфира, в виде небольших штоков и даек, проникшим по вертикальной рассланцовке и давшим большое количество кварцевых жил, в большинстве пустых в рудном отношении, а также вызвавшим в породах формации довольно значительное метасоматическое изменение.

5. Трансгрессия верхнесилурийского, а затем и нижнедевонского моря дала толщу осадков с большим развитием в них рифовых образований и с богатой фауной.

6. Следующая фаза дислокаций собрала силуро-девонскую толщу в крутые складки того же ССЗ. направления, что и в нижнем силуре, который, будучи к тому времени затвердевшим, вынудил вышележащую силуро-девонскую толщу, как более податливую, принять при этой дислокации общий характер своей структуры.

7. В последовавшее время, при возобновлении тангенциального давления, на ряду с рассланцеванием, в осадочных формациях произошли разрывы сплошности, с образованием структурных грабенов, в которых, главным образом, и сохранился силуро-девон.

8. Меридиональная сланцеватость нижнесилурийской и силуро-девонской формаций и меридиональное направление грабенов говорят о постоянстве З. или В. направления основных горообразовательных движений в районе.

9. При повторном выкручивании осадочных формаций силура между ними прошли перемещения, разбившие контакт между формациями, что привело к формам, похожим на шарьяжи.

10. Возраст интрузий гранитов и монцонит-порфиров не мог быть точно установлен; наиболее вероятен варисцийский возраст гранитов и девонский—монцонитпорфиров.

11. Затем, на Алтае имели место значительные эпейрогенические движения, за последнее время приведшие к образованию горной страны и, в частности, различных террасовых образований.

12. Тектоническая жизнь Алтая продолжается и ныне, как это известует из частых землетрясений, в нем появляющихся и иногда достигающих значительной интенсивности.

## SUMMARY.

The geologic history of the Middle-Anooy region in the Altay, investigated by the writer in 1931, may be characterized in the following way:

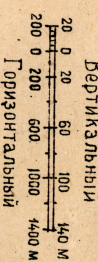
1. The most ancient formation of the region is composed of Lower Silurian metamorphic green-violet series the upper horizons of which contain a fauna characterising them.
2. During one of the phases of the Taconic Diastrophism it was gathered into folds of a NNW. strike.
3. The subsequent tangential pressures occurring repeatedly have caused four types of schistosity in this formation.
4. Towards the time when the formation was somewhat denuded repeated disturbances, the age of which could not be determined, have led to intrusions of quartz albite porphyry forming small stocks and dykes. These intrusions penetrated along the vertical schistosity and caused the occurrence of a great quantity of quartz veins, which were for the most part barren, and a considerable metasomatic alteration in the rocks of the formation.
5. A transgression of the Upper Silurian und later on of the Lower Devonian seas has formed a series of sediments with a great development of reef limestones having a rich fauna.
6. The next phase of dislocations gathered the Siluro-Devonian series into steep folds of the same NW. strike as in the Lower Silurian which had solidified by this time and forced the overlying Siluro-Devonian series, being weaker during this dislocation, to take the general character of its structure.
7. In the subsequent period when the tangential pressure renewed, breaks of continuity occurred in sedimentary formations besides the lamination and structural grabens were formed the Lower Dovonian being chiefly preserved in them.
8. The meridional schistosity of the Lower Silurian and of the Siluro Devonian formations, as well as the meridional trend of the grabens show the constancy of the W. and E. directions of the principal mountain forming movements in the region.
9. During the repeated warping of the Silurian sedimentary formations disturbances occurred between them and broke the contact between the formations this being favorable to the development of forms resembling charriages.
10. The age of the granite and monzonite porphyry could not be precisely defined; the most probable is the Hercynian age of granites and the Devonian age of monzonite-porphries.
11. Later on, considerable epeirogenic movements took place in the Altay, which led in the last time to the formation of a mountaneous country and particularly to that of different terraces.
12. The tectonic life of the Altay still continues at the present time, this being evident from frequent earthquakes reaching at times a considerable intensity.

Translated by B. Gootovskaja.

Схематический профиль Алтайского горного фаса от с. Бугачихи до рч. Кудрихи.

(Построен по данным боронетрического нивелирования).

*Масштабы:*



Горизонтальный

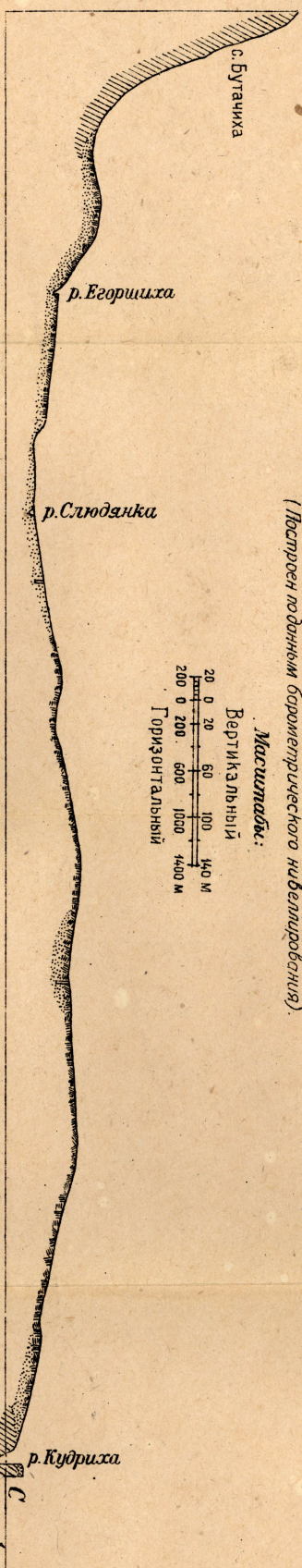


Рис. 1.

Объяснение к рисункам.

2. Резбчатая карбонатная жила обтекает лепестковые

сланцы.

3 и 4. Отложение обломки песчаника в лепестко-

морфологических сланцах.

5. Крупный обломок известняка среди лепе-

зистых сланцев.

6. Крупный миллимет из известника в жиле

сниклинии: а) известник, б) сланцы.

7. Обнаружение другого миллимета в песчанике  
(а) и сланцах (б)

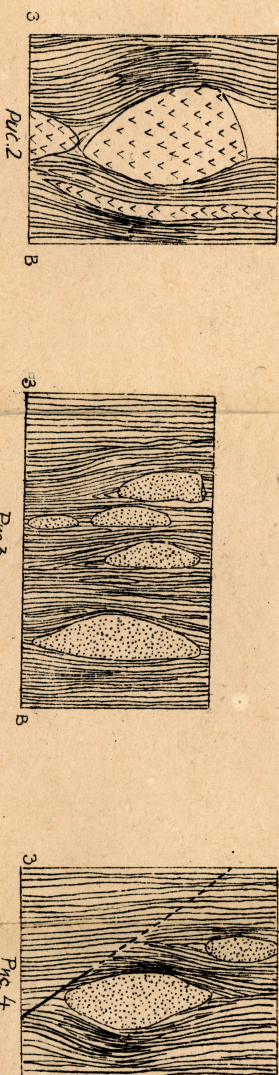


Рис. 2



Рис. 3

Рис. 4

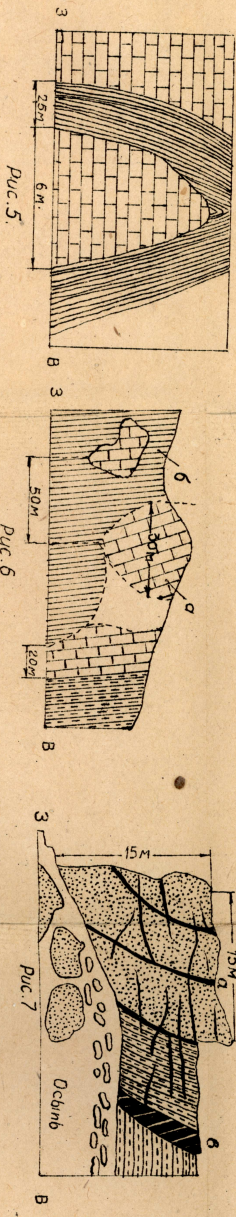


Рис. 5.

Рис. 6.

Рис. 7.

Б

РАЗРЕЗ ПО ЛИНИИ АБВГ

1

2

5

十一

三

१००

151

This geological map illustrates the northern part of the Krasnoyarsk region, featuring several distinct geological units and geographical features. Key elements include:

- Rivers:** Р. Амур (River Amur) flows through the central and southern parts of the map.
- Topography:** The terrain is depicted with contour lines and shaded relief, indicating elevation changes.
- Geological Units:**
  - Ст. Антоновка** (St. Antonovka) is located in the upper left, associated with a specific geological horizon.
  - С. Сандовка** (S. Sandovka) is another unit in the upper left area.
  - С. Каменка** (S. Kaminka) is located in the upper right.
  - С. Малыши** (S. Malyshevi) is also in the upper right.
  - С. Попова** (S. Popova) is in the middle right.
  - С. Талюка** (S. Talyuka) is in the lower right.
  - С. Михайловское** (S. Mikhaylovskoe) is in the lower center.
  - С. Караулунная** (S. Karaulunnaya) is in the lower left.
  - С. Аниус** (S. Anius) is in the lower center.
- Geological Symbols:** The map uses various symbols to represent different geological features, such as triangles, dots, and lines.
- Scale:** The vertical scale bar indicates distances up to 10 km.
- Coordinates:** The horizontal coordinates range from 53°30' to 55°00' E, and the vertical coordinates range from 32°00' to 33°30' N.

СЕОДОГО - ПІДОУДІЙСЬКА АВТО

Средне-Ангусского района Северного Алтая  
С-3 часть листа № 14 рода X. Дальневосточной карты  
составлена по данным геолого-поисковой съемки 1931 г.  
геологом П. Ф. Красильниковым.

Macmillan

1 0 1 2 3 4 5 Km

15'

зелено-фиолетовая птица  
Мраморизованные избогатки  
Комплексный пояс  
Альбийтит-порфирь  
Изогестики  
Известняково-песчано-мергелистая толща  
Рифовые известники (с белой фундой)  
Монцонит-порфирь  
Граниты и амфиболы  
Граниты и диориты  
Тектонические наименования

7

54°00'

45'

53° 30'